





















































Christine Greif
<http://www.usm.uni-muenchen.de/~koepferl>
 This work is licensed under CC-BY-SA 4.0
 Data: NPGeo-DE; VZ = Verdopplungszeit

- | | |
|---|--------------------------------|
|  | Fit am 17.03; VZ: 2.78 d |
|  | Fit am 18.03; VZ: 3.13 d |
|  | Fit am 19.03; VZ: 3.13 d |
|  | Fit am 20.03; VZ: 3.08 d |
|  | Fit am 21.03; VZ: 3.08 d |
|  | Fit am 22.03; VZ: 3.38 d |
|  | Fit am 23.03; VZ: 3.69 d |
|  | Fit am 24.03; VZ: 4.39 d |
|  | Fit am 25.03; VZ: 5.88 d |
|  | Fit am 26.03; VZ: 6.65 d |
|  | Fit am 27.03; VZ: 6.91 d |
|  | Fit am 28.03; VZ: 6.81 d |
|  | Fit am 29.03; VZ: 6.81 d |
|  | Fit am 30.03; VZ: 6.97 d |
|  | Fit am 31.03; VZ: 7.74 d |
|  | Fit am 01.04; VZ: 8.41 d |
|  | Fit am 02.04; VZ: 8.67 d |
|  | Fit am 03.04; VZ: 8.64 d |
|  | Fit am 04.04; VZ: 8.39 d |
|  | Fit am 05.04; VZ: 7.84 d |
|  | Fit am 06.04; VZ: 8.00 d |
|  | Fit am 07.04; VZ: 8.53 d |
|  | Fit am 08.04; VZ: 9.81 d |
|  | Fit am 09.04; VZ: 11.37 d |
|  | Fit am 10.04; VZ: 13.51 d |
|  | Fit am 11.04; VZ: 16.76 d |
|  | Fit am 12.04; VZ: 20.97 d |
|  | Fit am 14.04; VZ: 28.10 d |
|  | Fit am 15.04; VZ: 38.22 d |
|  | Fit am 16.04; VZ: 39.33 d |
|  | Fit am 17.04; VZ: 40.51 d |
|  | Fit am 18.04; VZ: 43.18 d |
|  | Fit am 19.04; VZ: 43.69 d |
|  | Fit am 21.04; VZ: 52.90 d |
|  | Fit am 22.04; VZ: 61.27 d |
|  | Fit am 23.04; VZ: 71.70 d |
|  | Fit am 24.04; VZ: 87.47 d |
|  | Fit am 27.04; VZ: 99.31 d |
|  | Fit am 28.04; VZ: 106.74 d |
|  | Fit am 29.04; VZ: 111.65 d |
|  | Fit am 30.04; VZ: 113.01 d |
|  | Fit am 04.05; VZ: 130.02 d |
|  | Fit am 05.05; VZ: 127.30 d |
|  | Fit am 06.05; VZ: 119.43 d |
|  | Ampel (Beatmungsbedarf ca. 5%) |
|  | Ampel (Beatmungsbedarf ca. 5%) |
|  | Ampel (Beatmungsbedarf ca. 5%) |
|  | Unsicherheiten |
|  | Kapazitaet Beatmungsapparate |
|  | COVID19 erkrankt |
|  | davon verstorben |
|  | davon genesen |